

## مقایسه کنترل‌کننده‌های غیر کلاسیک در نانو تشدیدگر پیزوالکتریک: تحلیل بسامد طبیعی و ولتاژ

## پولین

سید حبیب اله هاشمی کچپی<sup>۱\*</sup>، سیده قدسیه هاشمی کچپی<sup>۲</sup><sup>۱</sup> استادیار، دانشکده فنی و مهندسی، گروه مهندسی مکانیک، دانشگاه مازندران، بابلسر، ایران<sup>۲</sup> دانشجوی دکتری، دانشکده فیزیک، دانشگاه کاشان، کاشان، ایران

مقاله مستقل، تاریخ دریافت: ۱۴۰۳/۰۱/۱۳؛ تاریخ بازنگری: ۱۴۰۳/۰۴/۱۱؛ تاریخ پذیرش: ۱۴۰۳/۰۶/۱۱

## چکیده

در مقاله حاضر اثرات کنترل‌کننده‌های غیر کلاسیک مانند نظریه گرادیان کرنش (SGT)، نظریه غیر موضعی (NLT) و نظریه‌های سطح/ابط گورتین-مرداک (GMSIT) برای تحلیل بسامدهای طبیعی در نانو تشدیدگر پیزوالکتریک (PENR) در مقایسه با نظریه کلاسیک (CT) ارائه شده‌است. نانو تشدیدگر تحت تحریک الکترواستاتیک غیر خطی با ولتاژ مستقیم (DC) و متناوب (AC) و محیط ویسکو پاسترناک قرار دارد. برای تحلیل این سیستم، از اصل همپلتون و روش گالرکین برای بدست آوردن معادلات حرکت و تبدیل معادلات دیفرانسیل جزئی به معمولی استفاده شده‌است. نتایج نشان می‌دهد که نادیده گرفتن اثرات مقیاس کوچک و سطح/ابط پیش بینی‌های نادرستی از پاسخ ارتعاشی نانو تشدیدگر را ارائه می‌دهد. همچنین در شرایط مرزی مختلف، مقیاس طول ماده و پارامترهای مقیاس غیر موضعی به ترتیب منجر به کاهش و افزایش سفتی نانو تشدیدگر می‌شوند و با افزایش نسبت طول به شعاع، افزایش مقیاس طول و غیر موضعی به دلیل تغییر سفتی نانو سیستم، بسامد های طبیعی بدون بعد به ترتیب افزایش و کاهش می‌یابند. در نهایت با مقایسه سه نظریه غیر کلاسیک با نظریه کلاسیک، در نظر گرفتن اثرات سطح/ابط نوع اول باعث کاهش سفتی سیستم شده که منجر به کاهش بسامد طبیعی و در نتیجه افزایش ولتاژ DC برای رسیدن به ولتاژ پولین نسبت به سایر حالت‌ها می‌شود.

**کلمات کلیدی:** نانو تشدیدگر پیزوالکتریک؛ نظریه گرادیان کرنش غیر موضعی؛ نظریه سطح/ابط گورتین-مرداک؛ بسامد طبیعی؛ ولتاژ پولین.

### Comparison of nonclassical controllers on piezoelectric nanoresonator: natural frequency and pull in voltage analysis

Sayyid H. Hashemi Kachapi<sup>1,\*</sup>, S. Gh. Hashemi Kachabi<sup>2</sup><sup>1</sup> Assist. Prof., Department of Mechanical Engineering, University of Mazandaran, Babolsar, Iran<sup>2</sup> Ph.D. Student, Department of Physics, University of Kashan, Kashan, Iran

## Abstract

In current work, some nonclassical controller effects such as strain gradient (SGT), nonlocal (NLT) and Gurtin–Murdoch surface/interface (GMSIT) theories are presented for analyzing of nonlinear vibration in piezoelectric nanoresonator (PENR) compared to classical theory (CT). PENR subjected to nonlinear electrostatic excitation with direct (DC) and alternating (AC) voltages and also visco-pasternak medium. For this analysis, Hamilton's principle, Galerkin technique, combination of Complex averaging method and arc-length continuation are used to analyze nonlinear frequency response and stability analysis of PENR. The results show that ignoring small-scale and surface/interface effects give inaccurate predictions of vibrational response of the PENR. It is indicated that in different boundary condition, material length scale and nonlocal scale parameters respectively lead to decreasing and increasing of PENR stiffness and also the amplitude of oscillation and the range of instability of non-classic theories of NLT and SGT are greater than that of the classical one. Also changes of surface/interface parameters lead to decreasing or increasing the dimensionless natural frequency, resonant frequency, resonance amplitude, nonlinear behavior and the system's instability of PENR.

**Keywords:** Piezoelectric nanoresonator; Nonlocal strain gradient theory; Gurtin–Murdoch surface/interface theory, Natural frequency; Pullin voltage.

## ۱- مقدمه

نانوساختارها به دلیل دارا بودن جرم و اندازه کوچک به طور گسترده برای کاربرد در زمینه‌های مختلف علم و فناوری، مورد استفاده قرار می‌گیرند [۱]. از جمله مهم‌ترین نانوساختارها، نانو تشدیدگر است [۲]. اساس کار نانو تشدیدگر، تشخیص تغییرات در بسامد های تشدید شده یا سرعت امواج حسگرهای نانو، با استفاده از اتم‌های خارجی و مولکول‌های اطراف سطح خود است. این سازه‌ها از نظر مفهومی به عنوان حسگر عمل می‌نمایند که ورود جرم به داخل آن‌ها منجر به تغییر بسامد آن‌ها خواهد شد. مطالعات تجربی نشان می‌دهد که نانو تشدیدگرها، بستگی زیادی به شرایط محیطی مانند دما، سروصدای محیط دارد. رزوناتورهای کاربردهای فراوانی دارند از جمله در ارتباطات امنیتی، سنجش‌های جرمی، سنجش‌های بارالکتریکی، مخلوط مایعات، حسگرهای حرارتی و زیستی، دریافت، پردازش و تقویت سیگنال، فیلتر کردن سیگنال‌های شیمیایی، کاهش صدا، کاربردهای پزشکی مانند تشخیص مولکول DNA، نظارت بر قند دیابتی‌ها و در وسایلی مانند آنتن، تلفن همراه و غیره از آن‌ها استفاده می‌شود. نانو تشدیدگرها بنابر کاربردی که دارند، ممکن است به شکل‌های گوناگون لوله‌ای، ورق و غیره تولید شوند [۲]. امروزه برای تحلیل دینامیک و مدل‌سازی ریاضی این نانوساختارها، پارامترهای وابسته به اندازه باید در مدل‌های نظری گنجانده شوند. برای این منظور، نظریه‌های غیر کلاسیک مانند نظریه غیرمحلّی یا غیرموضعی [۳]، گرادیان کرنش [۴] و نظریه‌های سطح/ابط گورتین-مورداک [۵] برای بررسی ارتعاشات غیرخطی و تحلیل دینامیکی نانوساختارها ارائه شده‌اند.

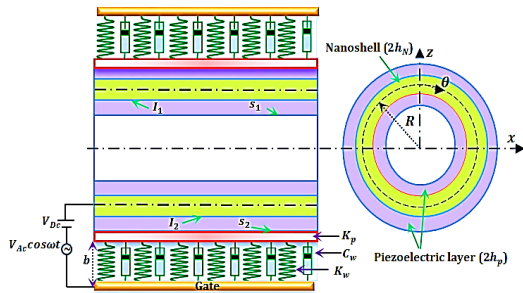
بر اساس نظریه الاستیسیته غیرمحلّی، نجفی و همکاران [۶] به تحلیل ارتعاشات آزاد نانوتیر پیزوالکتریک استفاده کرده‌اند و اثرات پارامترهای مختلف مانند پارامتر غیرمحلّی، نسبت طول به ضخامت و ولتاژ اعمالی خارجی را مورد بررسی قرار داده‌اند. نجفی و همکاران [۶] در تحلیل ارتعاشات آزاد نانوتیر پیزوالکتریک، اثرات پارامترهای مختلف مانند پارامتر غیرمحلّی، نسبت طول به ضخامت و ولتاژ اعمالی خارجی را مورد بررسی قرار داده‌اند. همچنین تحلیل ارتعاشات آزاد پنل‌های مخروطی مدرج تابعی تقویت شده با نانو صفحات گرافن با شرایط مرزی مختلف توسط میرزایی و همکاران مورد بررسی قرار گرفته است [۷]. همچنین در بررسی صورت گرفته توسط

عارفی [۸] نشان داده شده‌است که افزایش پارامتر غیرموضعی منجر به افزایش چرخش‌ها، جابجایی‌های درون صفحه و انحراف عرضی یک پوسته نانو پیزوالکتریک با منحنی‌های دوگانه می‌شود. بر اساس نظریه گرادیان کرنش غیرموضعی، کماتش نانوپوسته توسط دیندارلو و همکاران مورد مطالعه قرار گرفته است [۹]. ابراهیمی و همکاران [۱۰] از نظریه گرادیان کرنش غیرمحلّی برای بررسی تحلیل ارتعاشات نانوتیرهای ویسکوالاستیک استفاده کرده‌اند. با بکارگیری نظریه گرادیان کرنش غیرمحلّی و روش تحلیلی مقیاس‌های زمانی چندگانه، ارتعاشات غیرخطی نانوتیر غیرموضعی اویلر-برنولی بعنوان یک ساختار نانوالکترومکانیک توسط کارآمد و همکاران بررسی شده است [۱۱].

با توجه به نظریه الاستیسیته سطح گورتین-مرداک، کماتش - پس کماتش غیرخطی و تحلیل ارتعاشی نانوساختارهای پیزوالکتریک توسط فانگ و همکاران مورد مطالعه قرار گرفته است [۱۲، ۱۳]. ژانگ و همکاران نیز با بکارگیری نظریه سطحی غیرموضعی به بررسی برهمکنش‌های بین سطح و محیط توده‌ای نانوساختارها بویژه نانوتیرها پرداختند [۱۴]. اخیراً هاشمی کچی و همکاران [۱۵-۱۹] برخی از روش‌های مهم تحلیلی با رویکردهایی در مقیاس کوچک مانند نظریه غیرمحلّی ارینجن، گرادیان کرنش غیرمحلّی، نظریه‌های سطح/ابط گورتین-مورداک و همچنین ترکیب این روش‌های مختلف را ارائه کرده‌اند تا اثرات مقیاس کوچک بر بسامدهای طبیعی، ارتعاشات غیرخطی و تحلیل پایداری نانو ساختارهای پیزوالکتریک تک جداره، دوجداره و چند جداره را تحت تحریکات مختلفی چون الکترواستاتیک غیرخطی، ویسکوپاسترناک و هارمونیک مورد بررسی قرار دهند. رفتار نانوصفحه کریشف با در نظر گرفتن نیروی میرایی سیال، نیروی کز میر و استفاده از نظریه تنش کوپل سازگار و نظریه سطح گورتین-مورداک توسط شیخلو و همکاران مورد مطالعه قرار گرفته می‌شود [۲۰].

لازم به ذکر است که علاوه بر نویسندگان مذکور [۱۷] تعداد بسیار محدودی از مطالعات به طور همزمان تأثیر سطح و اثرات در مقیاس کوچک را برای نانوساختارها خصوصاً نانوساختارهای پیزوالکتریک در نظر گرفته‌اند. بی‌یوان و همکاران با بکارگیری روش سطح غیرموضعی به بررسی برهمکنش‌های سطح-توده و کاربرد آن در مکانیک نانو تیرها پرداختند [۲۱]. قربانپور و همکاران [۲۲] تحلیل ارتعاشات غیرخطی نانو ورق تک و دو

به ترتیب ضریب سختی وینکلر، لایه برشی پاسترناک و ضریب میرایی محیط ویسکو و تحریک الکترواستاتیکی غیرخطی شامل ولتاژ مستقیم  $V_{DC}$  و ولتاژ متناوب  $V_{AC}$  قرار گرفته است، در شکل ۱ نشان داده شده است.



شکل ۱- یک نانو تشدیدگر پیزوالکتریک تحت تحریک الکترواستاتیکی غیرخطی

سایر پارامترهای هندسی پوسته استوانه ای عبارت از طول نانو پوسته  $L$ ، شعاع سطح میانی  $R$ ، ضخامت پوسته استوانه ای  $2h_N$  و ضخامت لایه مواد پیزوالکتریک  $2h_p$  است. همچنین ولتاژ پیزوالکتریک  $V_p$  نیز در راستای ضخامت لایه پیزوالکتریک به سیستم اعمال می شود. با قرار گرفتن مبدأ سیستم مختصات در سطح میانی نانوپوسته، مختصات یک نقطه معمولی در جهت محوری، محیطی و شعاع به ترتیب با  $x$ ،  $\theta$  و  $Z$  توصیف می گردند. سایر خصوصیات فیزیکی و هندسی نانوساختار ذکر شده در مرجع هاشمی کچی و همکاران [۱۵] قابل مشاهده است.

### ۳- معادلات حاکم بر سیستم

در این بخش، معادلات حاکم بر حرکت و شرایط مرزی متناظر پوسته پیزوالکتریک با اعمال اصل همیلتون زیر به دست می آید:

$$\int_0^t (\delta T - \delta \pi + \delta w_{vf} + \delta w_e) dt = 0, \quad (1)$$

که در آن  $\delta T$ ،  $\delta \pi$ ،  $\delta w_{vf}$  و  $\delta w_e$  به ترتیب اولین تغییر انرژی کرنش، انرژی جنبشی، پایه ویسکوالاستیک و تحریک الکترواستاتیک غیرخطی هستند. توجه به این نکته ضروری است که تمامی روابط، ضرایب و عبارات برای نظریه های

جداره را با استفاده از نظریه های پیزوالاستیسیته غیرمحملی و انرژی سطحی مورد بررسی قرار داده اند. همچنین قربانی و همکاران. [۲۳] نشان داده اند که پارامتر مقیاس طول ماده و پارامتر پارامتر غیرمحملی به ترتیب بسامد طبیعی را افزایش و کاهش می دهند و اثرات انرژی سطح روی پاسخها در مقادیر بالاتر پارامتر مقیاس طول و مقادیر پایین تر پارامتر غیرمحملی، قوی تر است؛ همچنین پاسخ تحلیلی پس کمانش نانوساختارهای تیر مانند با استفاده از اثرات سطحی و غیرمحملی توسط کیانی [۲۴] مورد مطالعه قرار گرفته است. در تحقیق صورت گرفته توسط سون و همکاران [۲۵]، از اثرات غیرمحملی و انرژی سطحی برای تحلیل کمانش نانوپوسته های پیزوالکتریک تحت ولتاژهای خارجی و بارهای فشاری استفاده شده است.

در تمام کارهای قبلی که تا کنون توسط نویسندگان انجام شده است، پژوهش های بسیار کمی در تحلیل ارتعاشات و پایداری نانوساختارهای پیزوالکتریک با در نظر گرفتن همزمان اثرات گرادیان کرنش، سطح/ابط گورتین-مورداک و اثرات غیرمحملی صورت گرفته است. تحقیق حاضر ادامه کارهای صورت گرفته [۱۷] نویسنده مقاله حاضر است، اما موضوع مورد مطالعه به ویژه نیروهای تحریک اعمالی کاملاً متفاوت از کار قبلی بوده و در نتیجه نتایج متفاوتی از مقاله قبلی حاصل می شود و برخلاف کار قبلی، نانوساختار حاضر به طور همزمان تحت تحریک الکترواستاتیکی غیرخطی با ولتاژهای مستقیم (DC) و متناوب (AC) و همچنین محیط ویسکو پاسترناک قرار می گیرد. در تحقیق حاضر، اثرات غیرکلاسیک نامبرده برای بررسی بسامد طبیعی و تحلیل ناپایداری ولتاژ پولین نانو تشدیدگر پیزوالکتریک در مقایسه با نظریه کلاسیک مورد مطالعه قرار می گیرند. برای این کار، از روش های اصل همیلتون و گالرکین استفاده شده است تا تاثیر پارامترهای مختلفی چون اثرات مقیاس کوچک، سطح/ابط، بسترهای ویسکو پاسترناک، ولتاژهای الکترواستاتیک و پیزوالکتریک و سایر پارامترها بر بسامد طبیعی بدون بعد DNF و ولتاژ پولین نانو تشدیدگر پیزوالکتریک مورد بررسی قرار گیرد.

### ۲- مدل سازی هندسی و فیزیکی

نانو تشدیدگر پیزوالکتریک مبتنی بر نانوپوسته استوانه ای که در معرض محیط ویسکو پاسترناک با ضرایب  $K_p$ ،  $K_w$  و  $C_w$

$$\int_0^L \int_0^{2\pi} \int_0^w \frac{\pi Y (V_{DC} + V_{AC} \cos(\omega t))^2}{\left( \sqrt{\frac{(b-w)}{\times (2R+b-w)}} \right) \times \left[ \cosh^{-1} \left( \frac{1+w}{R} \right) \right]^2} \delta w R d\theta dx$$

که در آن تمام ضرایب و عبارات بیان شده در معادلات (۲) - (۶) را می‌توان با جزئیات کامل در مراجع هاشمی کچی و همکاران [۱۵] مشاهده کرد.

با جایگزینی معادلات (۲) - (۶) در معادله (۱)، معادلات حاکم بر حرکت و شرایط مرزی برای PENR به دست آمده است. مطابق با مراجع [۱۵، ۱۷] و با در نظر گرفتن اثرات مقیاس غیرمحلی و طول مواد و بنابراین اثرات غیرمحلی گرادیان کرنش سطح/رابط مرجع [۱۷] و با در نظر گرفتن پارامترهای بی بعد مراجع ذکر شده، معادلات بی بعد حاکم بر حرکت و شرایط مرزی بی بعد مرتبط با آن بدست می‌آیند که به ترتیب در پیوست‌های ۱ و ۲ ضمیمه شده‌اند.

در مطالعه حاضر برای بیان نیروی الکترواستاتیک معادله (۶) و با توجه به مشکل برازش منحنی غیرخطی ایجاد شده در این حالت غیرخطی، از شکل تابع چند جمله‌ای که توسط روش عددی lsqcurvefit در جعبه ابزار Matlab و با استفاده از روش حداقل مربعات حل می‌شود، استفاده می‌کنیم؛ در نتیجه کار بدون بعد انجام شده توسط نیروی الکترواستاتیک را می‌توان به صورت زیر بیان کرد [۱۷، ۱۵]:

$$\delta W_e = \int_0^L \int_0^{2\pi} \left\{ \int_0^w \bar{F}_e (\bar{V}_{DC} + \bar{V}_{AC} \cos(\Omega t))^2 (\bar{C}_1 + \bar{C}_2 \bar{w} + \bar{C}_3 \bar{w}^2 + \dots + \bar{C}_n \bar{w}^{n-1}) \delta \bar{w} \right\} \delta \theta \delta \xi \quad (7)$$

که  $\bar{C}_1 - \bar{C}_n$  ثابت هستند.

#### ۴- روش حل تحلیلی

در این پژوهش، از روش گالرکین برای تبدیل معادلات حاکم به معادلات دیفرانسیل معمولی استفاده می‌شود؛ بنابراین جایجایی‌ها برحسب مختصات تعمیم یافته و تابع حالت به صورت زیر نوشته می‌شوند [۲۷]:

گرادیان کرنش غیرمحلی و سطح/رابط و گرادیان کرنش غیرمحلی سطح/رابط و روابط تنش-کرنش در مقیاس کوچک و غیره با جزئیات کامل در مرجع هاشمی کچی [۱۷] ذکر شده است. اولین تغییر انرژی کرنش به صورت زیر نوشته می‌شود:

$$\delta \pi = \int_0^L \int_0^{2\pi} \left\{ \begin{array}{l} N_{xx} \left( \frac{\partial \delta u}{\partial x} + \frac{\partial w}{\partial x} \frac{\partial \delta w}{\partial x} \right) \\ - M_{xx} \left( \frac{\partial^2 \delta w}{\partial x^2} \right) \\ + N_{\theta\theta} \left( \frac{1}{R} \left( \frac{\partial \delta v}{\partial \theta} + \delta w \right) \right. \\ \left. + \frac{1}{R^2} \frac{\partial w}{\partial \theta} \frac{\partial \delta w}{\partial \theta} \right) \\ - M_{\theta\theta} \left( \frac{1}{R^2} \frac{\partial^2 \delta w}{\partial \theta^2} \right) \\ + N_{x\theta} \left( \frac{1}{R} \frac{\partial \delta u}{\partial \theta} + \frac{\partial \delta v}{\partial x} \right. \\ \left. + \frac{1}{R} \frac{\partial \delta w}{\partial x} \frac{\partial w}{\partial \theta} \right) \\ \left. + N_{\theta x} \left( \frac{1}{R} \frac{\partial w}{\partial x} \frac{\partial \delta w}{\partial \theta} \right) \right\} R d\theta dx \quad (2)$$

همچنین اولین تغییر انرژی جنبشی را می‌توان به صورت زیر بیان نمود:

$$\delta \int_{t_1}^{t_2} T dt = - \int_{t_1}^{t_2} \iint \left\{ I \left( \left( \frac{\partial^2 u}{\partial t^2} \right) \delta u + \left( \frac{\partial^2 v}{\partial t^2} \right) \delta v + \left( \frac{\partial^2 w}{\partial t^2} \right) \delta w \right) \right\} R d\theta dx dt \quad (3)$$

که

$$I = \int_{-h_N}^{h_N} \rho_N dz + \int_{-h_N-h_p}^{-h_N} \rho_p dz + \int_{h_N}^{h_N+h_p} \rho_p dz + \rho^{s,l} = 2\rho_N h_N + 2\rho_p h_p + 2\rho^s + 2\rho^l \quad (4)$$

و اولین تغییر کار انجام شده توسط بستر ویسکوالاستیک و تحریک الکترواستاتیک غیرخطی را می‌توان به صورت زیر نوشت:

$$\delta W_{vf} = - \int_0^L \int_0^{2\pi} \int_0^w \left( \begin{array}{l} K_w w \\ -K_p \nabla^2 w \\ + C_w \frac{\partial w}{\partial t} \end{array} \right) \delta w R d\theta dx, \quad (5)$$

$$\delta W_e = \quad (6)$$

۵- نتایج و بحث

در این بخش، ابتدا صحت پاسخ نانو تشدیدگر پیزوالکتریک با در نظر گرفتن اثرات غیرمحملی، گرادیان کرنش و سطح/رابط با روش عددی رانگ- کوتا بررسی می‌شود. سپس اثرات پارامترهای مختلف مواد و هندسی با و بدون اثرات غیرمحملی، گرادیان کرنش و سطح/رابط بر بسامد طبیعی بی‌بعد و ولتاژ پولین ارائه می‌شود. برای این منظور، شرایط مرزی مختلف مانند لبه گیره (CC)، لبه ساپورت شده (SS)، لبه گیره دار- ساده حمایت شده (CS) و لبه بدون گیره (CF) ارائه شده‌است. خواص سطحی و توده‌ای مواد نانوپیوسته آلومینیوم (Al) و لایه پیزوالکتریک PZT به ترتیب در جداول ۱ و ۲ نشان داده شده است [۱۵، ۱۶].

جدول ۱- خواص سطحی و حجیم آلومینیوم

$E_N$ (GPa)	$\nu_N$	$\rho_N$ ( $\frac{kg}{m^3}$ )	$\lambda^I$ (N/m)	$\mu^I$ (N/m)	$\tau_0^I$ (N/r)	$\rho^I$ ( $kg/m^2$ )
70	0/3 3	2700	3/78 6	1/95	0/9 108	5 $46 \times 10^{-7}$

جدول ۲- خواص سطحی و حجیم PZT-۴

$C_{11p}$ (GPa)	$C_{22p}$ (GPa)	$C_{12p}$ (GPa)	$C_{21p}$ (GPa)	$C_{66p}$ (GPa)	$E_p$ (GPa)
139	139	77/8	77/8	30/5	95
$\nu_p$	$\rho_p$ ( $n^{-3}$ )	$\eta_{33p}$ ( $10^{-8}$ F/m)	$\lambda^S$ (N/m)	$\mu^S$ (N/m)	$\tau_0^S$ (N/m)
0/3	7500	8/91	4/488	2/774	0/604 8
$e_{31p}$ C/m <sup>2</sup>	$e_{32p}$ (C/n)	$e_{31p}^S$ (C/m)	$e_{32p}^S$ (C/m)	$\rho^S$ ( $kg/m^2$ )	
-5 /2	-5 /2	$-3 \times 10^{-8}$	$-3 \times 10^{-8}$	5 $61 \times 10^{-6}$	

سایر پارامترهای فیزیکی و هندسی نانو ساختار در تمام نتایج زیر در جدول ۳ [۱۵، ۱۶، ۲۲] نشان داده شده‌است.

جدول ۳- مواد و پارامترهای هندسی

R(m)	L/R	$h_N/R_1/R$	b/R	$C_w$ ( $\frac{N.S}{m}$ )	
$1 \times 10^{-9}$	10	0 /01	0 /005	0/1 $\times 10^{-3}$	
$K_w$ (N/m <sup>3</sup> )	$K_p$ (N/m)	$V_p$ (V)	$V_0$	$V_{DC}$ (V)	$V_{AC}$ (V)
9 $\times 10^{17}$	2/07	$1 \times 10^{-5}$	1	1/5	0/5
$\mu$ (m <sup>2</sup> )	$\eta$ (m <sup>2</sup> )				
$(1 \times 10^{-10})$	$(1 \times 10^{-11})$				

$$\begin{bmatrix} u(x, \theta, t) \\ v(x, \theta, t) \\ w(x, \theta, t) \end{bmatrix} = \sum_{m=1}^{M_1} \sum_{j=1}^N \begin{bmatrix} u_{m,j,c}(\tau) \cos(j\theta) \\ + u_{m,j,s}(\tau) \sin(j\theta) \\ v_{m,j,c}(\tau) \sin(j\theta) \\ + v_{m,j,s}(\tau) \cos(j\theta) \\ w_{m,j,c}(\tau) \cos(j\theta) \\ + w_{m,j,s}(\tau) \sin(j\theta) \end{bmatrix} \begin{bmatrix} \chi_{mj}(\xi) \\ \phi_{mj}(\xi) \\ \beta_{mj}(\xi) \end{bmatrix} + \sum_{m=1}^{M_2} \begin{bmatrix} u_{m,0}(\tau) \chi_{m0}(\xi) \\ v_{m,0}(\tau) \phi_{m0}(\xi) \\ w_{m,0}(\tau) \beta_{m0}(\xi) \end{bmatrix} = \sum_{(i,r,s)=1}^{M_2+M_1 \times N} \begin{bmatrix} u_i(\tau) \chi_i(\xi) \vartheta_i(\theta) \\ v_r(\tau) \phi_r(\xi) \alpha_r(\theta) \\ w_s(\tau) \beta_s(\xi) \psi_s(\theta) \end{bmatrix} \quad (8)$$

در روش گالرکین، توابع  $\chi_i(\xi)$ ،  $\phi_r(\xi)$  و  $\beta_s(\xi)$  باید تمام شرایط مرزی هندسی و طبیعی را برآورده کنند. با جایگزینی معادلات (۸) در معادلات بی‌بعد حاکم بر حرکت و شرایط مرزی بی‌بعد پیوسته‌های ۱ و ۲ و معادله (۷) و با استفاده از روش گالرکین، معادله مرتبه کاهش یافته حرکت به شکل زیر نوشته می‌شود:

$$[(K)_u^u + (K_{bc})_u^u] \{ \bar{u} \} + [(K)_u^v + (K_{bc})_u^v] \{ \bar{v} \} + [(K)_u^w + (K_{bc})_u^w] \{ \bar{w} \} + [(NL)_u^u + (NL_{bc})_u^u] \{ \bar{w}^2 \} = [(M)_u^u] \{ \bar{u} \} + \bar{F}_{up}^{bc} \quad (9)$$

$$[(K)_v^u + (K_{bc})_v^u] \{ \bar{u} \} + [(K)_v^v + (K_{bc})_v^v] \{ \bar{v} \} + [(K)_v^w + (K_{bc})_v^w] \{ \bar{w} \} + [(NL)_v^v + (NL_{bc})_v^v] \{ \bar{w}^2 \} = [(M)_v^v] \{ \bar{v} \} + \bar{F}_{vp}^{bc} \quad (10)$$

$$[(K)_w^u] \{ \bar{u} \} + [(K)_w^v] \{ \bar{v} \} + [(K)_w^w + (K_{bc})_w^w - (K_{vp})_w^w - (K_{e2})_w^w] \{ \bar{w} \} + [(NL)_w^u + (NL_{bc})_w^u] \{ \bar{w} \bar{u} \} + [(NL)_w^v + (NL_{bc})_w^v] \{ \bar{w} \bar{v} \} + [(NL)_w^w + (NL_{bc})_w^w - (NL_{2e})_w^w] \{ \bar{w}^2 \} + [(NL)_w^3 + (NL_{bc})_w^3 - (NL_{3e})_w^3] \{ \bar{w}^3 \} = [(M)_w^w + (M_{bc})_w^w] \{ \bar{w} \} + [(C)_w^w] \{ \bar{w} \} + [(C_{bc})_w^w] \{ \bar{w} \} + \bar{F}_{wp} + \bar{F}_{wp}^{bc} - \bar{F}_{we} - \bar{F}_e \left\{ \begin{aligned} & ((\bar{V}_{Ac} \cos \bar{\omega} \tau)^2 + 2 \bar{V}_{Ac} \bar{V}_{Dc} \cos \bar{\omega} \tau) \times \\ & (\bar{C}_4 (NL_e)_w^3 + \bar{C}_3 (NL_e)_w^2 \\ & + \bar{C}_2 (K_e)_w + \bar{C}_1 \bar{F}_1) \end{aligned} \right\} \quad (11)$$

که تمام ضرایب و عبارات معادلات (۱۷) - (۱۹) در مرجع هاشمی کچی [۱۷] تعریف شده‌است و تنها ضرایب محیط ویسکو-پاسترناک  $(K_{vp})_w^w$  در پیوست ۱ مقاله حاضر ارائه شده است.

### ۵-۱- صحه‌گذاری نتایج

در این بخش، بررسی و صحت پاسخ نانو تشدیدگر پیزوالکتریک با روش عددی رانگ-کوتا را با کارهای منتشر شده قبلی توسط محققین مقایسه می‌کنیم. در این حالت، صحت نتایج را با کار قربانی و همکاران [۲۳] که با در نظر گرفتن اثرات غیرمحملی، گرادیان کرنش و گرادیان کرنش غیرمحملی با و بدون در نظر گرفتن اثرات انرژی سطحی برای بسامدهای طبیعی نانولوله استوانه‌ای دوسر مفصل SS و با پارامترهای ماده و هندسی زیر است، مقایسه می‌کنیم؛

$$v = 0/24, \rho = 2331 \text{ kg m}^{-3}, \lambda^s = -4/488 \text{ N m}^{-1}, \mu^s = -2/774 \text{ N m}^{-1}, \tau_0^s = 0/605 \text{ N m}^{-1}, \rho_s = 3/17 \times 10^{-7} \text{ kg m}^{-2}, h_N = 1 \text{ nm}, R/h_N = 2/5, E = 210 \text{ GPa} \text{ و } (m, n) = (3, 3)$$

تحریک الکترواستاتیک غیرخطی، نیروی هارمونیک، میرایی ساختاری و لایه های پیزوالکتریک صرفنظر می‌کنیم. این مقایسه در جدول ۴ ارائه شده‌است.

جدول ۴- مقایسه بسامدهای طبیعی بدون کار حاضر برای نانوپوسته SS با تحقیق قربانی و همکاران [۲۳] بر اساس

#### نظریه‌های مختلف مکانیک پیوسته

نظریه	با اثرات انرژی سطحی			بدون اثرات انرژی سطحی		
	مطالعه	اختلاف	قربانی و	مطالعه	اختلاف	قربانی و
	حاضر	نتایج	همکاران	حاضر	نتایج	همکاران
	[۲۳]	[۲۳]	[۲۳]	[۲۳]	[۲۳]	[۲۳]
کلاسیک	۰/۰۷۲	۰/۰۷۲۴	۰/۰۰۰	۰/۰۱	۰/۰۱۷۰	۰/۰۰۰
	۴۵	۱	۰۴	۷۰۹	۱	۰۸
غیرمحملی	۰/۰۱۴	۰/۰۱۴۰	۰/۰۰۰	۰/۰۰	۰/۰۰۳۲	۰/۰۰۰
	۰۴	۳	۰۱	۳۳۱	۹	۰۲
گرادیان	۰/۱۰۳	۰/۱۰۳۰	۰/۰۰۰	۰/۰۲	۰/۰۲۴۲	۰/۰۰۰
کرنش	۱۰	۳	۰۷	۴۲۶	۱	۰۵
گرادیان	۰/۰۱۹	۰/۰۱۹۹	۰/۰۰۰	۰/۰۰	۰/۰۰۴۶۹	۰/۰۰۰
کرنش	۹۹	۷	۰۲	۴۷۳		۰۴
غیرمحملی						

از جدول ۴ می‌توان مشاهده کرد که نتایج حاضر با پاسخ مرجع مذکور بسیار نزدیک و مناسب است که نشان می‌دهد، روش ارائه شده در این مقاله مناسب و از دقت بالا برخوردار است و تفاوت‌های ناچیز مشاهده شده در نتایج ممکن است به نظریه های مختلف پوسته ارائه شده و روش‌های مختلف حل مورد استفاده در تحقیق قبلی و در این مقاله مربوط گردد.

### ۵-۲- مطالعه پارامتری و تحلیل بسامد طبیعی

پس از اعتبارسنجی مسأله و اطمینان از صحت نتایج در قسمت قبل، هدف اصلی این بخش، مقایسه سه نظریه غیر کلاسیک NLT، SGT و GMSIT با نظریه کلاسیک CT است. برای این منظور، تأثیر پارامترهای هندسی و مواد مختلف با و بدون گرادیان کرنش، اثرات غیرمحملی و سطحی/ارابط بر بسامد طبیعی بدون بعد (DNF) برای PENR با مشخصات ذکر شده در جداول ۱-۳ تجزیه و تحلیل خواهد شد. لازم به ذکر است که در تمام نتایج حاصله، در NLT اثر پارامتر  $\bar{\mu}$ ؛ در SGT اثرات پارامترهای  $\bar{\mu}$  و  $\bar{\eta}$  و در GMSIT اثرات S/I بررسی شده خواهند شد. در ادامه، بسامدهای طبیعی بی‌بعد نانو تشدیدگر پیزوالکتریک در مقابل پارامتر مقیاس غیرمحملی  $\bar{\mu}$  و پارامتر مقیاس طول مواد بی‌بعد  $\bar{\eta}$  با و بدون پارامترهای انرژی سطحی/ارابط به ترتیب در شکل‌های ۲ و ۳ ارائه شده‌اند. با توجه به اهمیت بالای چگالی سطحی/ارابط و تأثیر زیادی که در تحلیل ارتعاشات خطی و غیرخطی نانوساختارها دارد، دو مورد از چگالی سطحی/ارابط مطابق جدول ۴ ارائه می‌گردد.

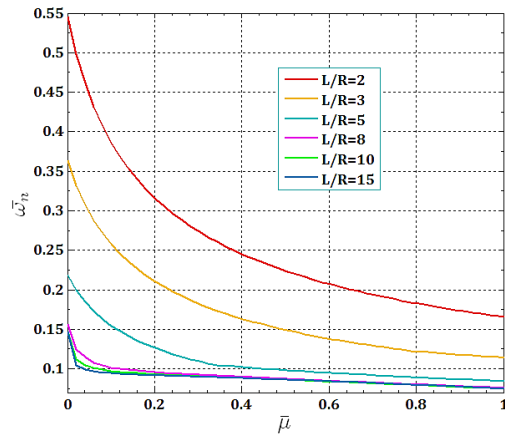
جدول ۴- دو حالت از چگالی سطحی/ارابط

حالت ۱		حالت ۲	
$\rho^l (\text{kg/m}^2)$	$\rho^s (\text{kg/m}^2)$	$\rho^l (\text{kg/m}^2)$	$\rho^s (\text{kg/m}^2)$
5	5	5	5
$46 \times 10^{-7}$	$61 \times 10^{-6}$	$46 \times 10^{-8}$	$61 \times 10^{-7}$

از شکل ۲ مشخص است که چگالی سطحی/ارابط حالت ۱ (حالت ۲) منجر به کاهش (افزایش) سفتی PENR می‌شود و در نتیجه باعث کاهش (افزایش) بسامد طبیعی بدون بعد در مقایسه با حالت بدون اثرات S/I می‌شود؛ همچنین در همه موارد، به دلیل کاهش سفتی PENR، DNF با افزایش پارامتر مقیاس غیرمحملی  $\bar{\mu}$  با  $0/01 = \bar{\eta}$  کاهش می‌یابد.

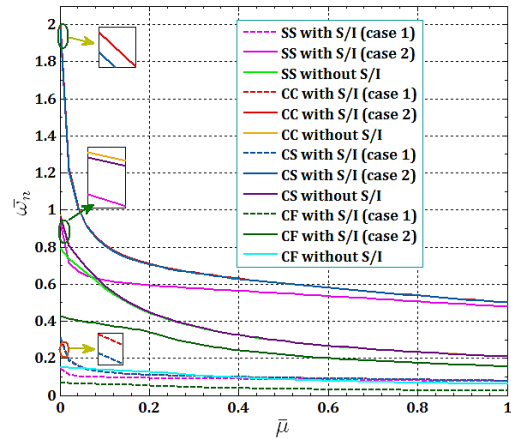
علاوه بر این، در هر دو حالت پارامترهای غیر محلی و مقیاس طول مواد، بسامد طبیعی بدون بعد مربوط به شرایط مرزی CC بیشتر از CS، SS و CF است. این به این دلیل است که شرایط مرزی CC نسبت به سایر شرایط مرزی سفت تر می باشد.

تأثیر نسبت طول به شعاع مختلف  $L/R$  بر بسامد طبیعی بدون بعد در مقابل پارامتر مقیاس غیر محلی بدون بعد  $\bar{\mu}$  برای SS در شکل ۴ با در نظر گرفتن تمام اثرات سطح / رابط و  $\bar{\eta} = 0/01$  ارائه شده است. از این شکل مشخص می شود که به دلیل کاهش سفتی PENR، با افزایش هر دو پارامتر نسبت  $L/R$  و پارامتر مقیاس کوچک غیر محلی، بسامدهای طبیعی بدون بعد کاهش می یابد.



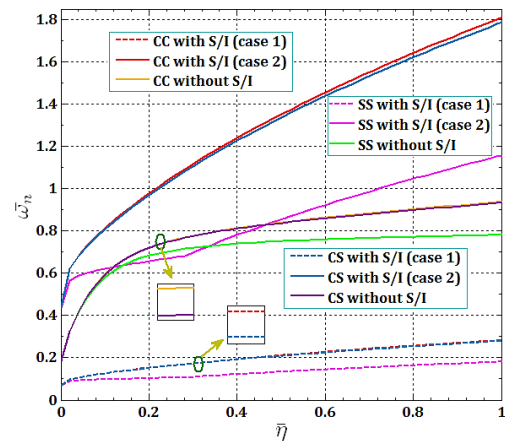
شکل ۴- اثرات نسبت  $L/R$  بر بسامد طبیعی در مقابل پارامتر بدون بعد مقیاس غیر محلی  $\bar{\mu}$  با تمام اثرات سطح / رابط و  $\bar{\eta} = 0/01$

تأثیر نسبت طول به شعاع مختلف  $L/R$  بر بسامد طبیعی بدون بعد در مقابل پارامتر بدون بعد مقیاس طول ماده  $\bar{\eta}$  برای SS در شکل ۵ با در نظر گرفتن تمام اثرات سطح / رابط و  $\bar{\mu} = 0/1$  ارائه شده است. از این شکل مشخص می شود که با افزایش پارامتر غیر محلی و نسبت  $L/R$  به ترتیب بسامدهای طبیعی بدون بعد افزایش و کاهش می یابد.

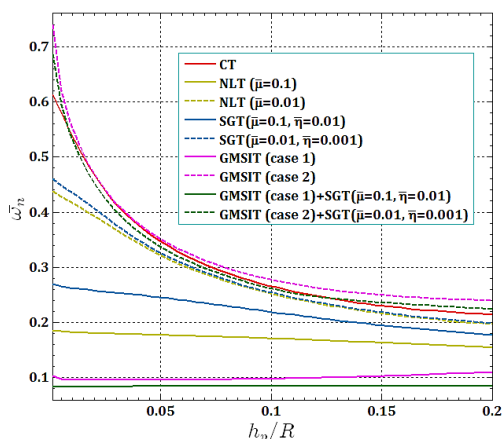


شکل ۲- تأثیر سطح / واسط بر بسامد طبیعی در مقابل پارامتر بدون بعد مقیاس غیر محلی  $\bar{\mu}$  با  $\bar{\eta} = 0/01$  برای شرایط مرزی مختلف

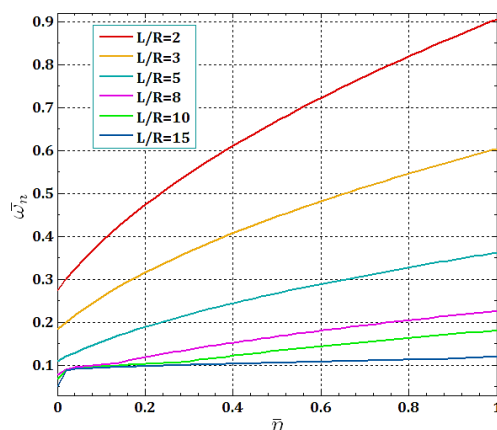
در شکل ۳، علاوه بر نتایج ذکر شده برای اثر چگالی سطح / رابط، مشخص است که در همه موارد، به دلیل افزایش سختی PENR، DNF با افزایش پارامتر مقیاس طول مواد بدون بعد  $\bar{\eta}$  با  $\bar{\mu} = 0/1$  افزایش می یابد. نتایج ۲ و ۳ همچنین نشان می دهند که پارامتر مقیاس غیر محلی  $\bar{\mu}$  و پارامتر مقیاس طول ماده  $\bar{\eta}$  به ترتیب منجر به افزایش و کاهش سفتی PENR می شوند که بر این اساس DNF برای PENR به ترتیب افزایش و کاهش می یابد.



شکل ۳- اثرات سطح / رابط بر بسامد طبیعی در مقابل پارامتر بدون بعد مقیاس طول مواد  $\bar{\eta}$  با  $\bar{\mu} = 0/1$  برای شرایط مرزی مختلف



شکل ۶- مقایسه نظریه‌های غیر کلاسیک با نظریه کلاسیک در بسامد طبیعی بدون بعد در مقابل ضخامت پیزوالکتریک به شعاع مختلف  $h_p/R$



شکل ۵- اثرات نسبت  $L/R$  بر بسامد طبیعی در مقابل پارامتر بدون بعد مقیاس طول مواد  $\bar{\eta}$  با تمام اثرات سطح / رابط و  $\bar{\mu} = 0/1$

همچنین می‌توان نتیجه گرفت که در همه موارد، نسبت  $h_p/R$  می‌تواند تأثیر قابل توجهی بر DNF داشته باشد و با افزایش این نسبت، به دلیل کاهش سفتی PEN، بسامد طبیعی کاهش می‌یابد.

شکل ۷ مقایسه بسامد طبیعی بدون بعد سه نظریه غیر کلاسیک برای NLT، SGT و GMSIT را با نظریه کلاسیک CT در ولتاژهای مختلف تحریک پیزوالکتریک  $\bar{V}_p$  برای SS PENR نشان می‌دهد. تمام نتایج ارائه شده در شکل قبل در مورد تأثیر نظریه‌های مختلف بر بسامدهای طبیعی در این شکل به وضوح مشاهده می‌شود و نتایج قبلی را تایید می‌کند. با توجه به تأثیر ولتاژ پیزوالکتریک بر بسامد طبیعی در نظریه‌های مختلف (شکل ۷)، بیشترین تغییرات در GMSIT و حالت‌های ۱ و ۲ و همچنین در نظر گرفتن همزمان GMSIT و SGT، به ویژه در موارد با چگالی کم مشاهده می‌شود. در این موارد، با افزایش ولتاژ و در نتیجه افزایش صلبیت سیستم، بسامد افزایش یافته و سپس با شیب کمی و تقریباً ثابت ادامه می‌یابد. در سایر نظریه‌ها، تغییرات ولتاژ پیزوالکتریک تأثیر قابل ملاحظه‌ای بر در بسامد طبیعی PENR ندارد.

شکل ۶ مقایسه سه نظریه غیر کلاسیک NLT، SGT و GMSIT را با نظریه کلاسیک CT بر روی بسامد طبیعی بدون بعد برای نسبت ضخامت پیزوالکتریک به شعاع مختلف  $h_p/R$  در SS PENR نشان می‌دهد. از این شکل می‌توان دریافت که بیشترین بسامد مربوط به GMSIT (چگالی حالت ۲) است و نشان می‌دهد که در این حالت، صلبیت سیستم بیشتر از سایر موارد است. کمترین بسامد نیز مربوط به در نظر گرفتن همزمان GMSIT (حالت ۱) و SGT ( $\bar{\mu} = 0/1, \bar{\eta} = 0/01$ )، یعنی GMSIT+SGT، است و نشان می‌دهد که در این حالت، سختی سیستم از سایر موارد کمتر است. واضح است که بسامد طبیعی نظریه کلاسیک بیشتر از نظریه‌های NLT و SGT است و نشان‌دهنده کاهش صلبیت سیستم به دلیل در نظر گرفتن این دو نظریه است؛ همچنین نظریه NLT به دلیل صلبیت بیشتر، بسامد بالاتری نسبت به نظریه SGT دارد؛ همچنین با در نظر گرفتن اثرات سطح / رابط و استفاده از چگالی سطح / رابط بالاتر یا پایین تر می‌تواند بسامدهای کمتر یا بیشتری نسبت به بسامدهای کلاسیک ایجاد کند، اما استفاده از هر دو نظریه NLT و SGT بسامد طبیعی کمتری نسبت به حالت کلاسیک خواهد داشت.



### ۶- جمع بندی

در مطالعه حاضر، نظریه‌های غیرمحملی، گرادیان کرنش و سطح/رابط گورتین-مرداک برای بررسی تحلیل بسامد طبیعی بدون بعد نانو تشدیدگر پیزوالکتریک تحت تحریک الکترواستاتیک غیرخطی و بستر ویسکوپسترناک در مقایسه با نظریه کلاسیک ارائه شده است. برای این تحلیل، از اصل همیلتون و روش گالرکین برای مقایسه سه نظریه غیر کلاسیک NLT، SGT و GMSIT با نظریه کلاسیک CT استفاده شده است.

برخی از نتایج این مطالعه به صورت زیر دست آمده است:  
 ✓ در تمام شرایط مرزی، پارامتر مقیاس غیرمحملی  $\bar{\mu}$  و پارامتر مقیاس طول ماده  $\bar{\eta}$  به ترتیب منجر به افزایش و کاهش سفتی PENR و در نتیجه منجر به افزایش و کاهش DNF در PENR می‌شوند.

✓ در هر دو مورد پارامترهای غیرمحملی و مقیاس طول مواد، بسامد طبیعی بدون بعد مربوط به شرایط مرزی CC بدلیل سفت بودن سیستم نسبت به سایر شرایط مرزی در این حالت بیشتر از SS، CS و CF است.

✓ با افزایش نسبت L/R و در هر دو حالت مختلف از  $\bar{\mu}$  و  $\bar{\eta}$ ، به دلیل کاهش سفتی PENR، بسامدهای طبیعی بدون بعد کاهش می‌یابد.

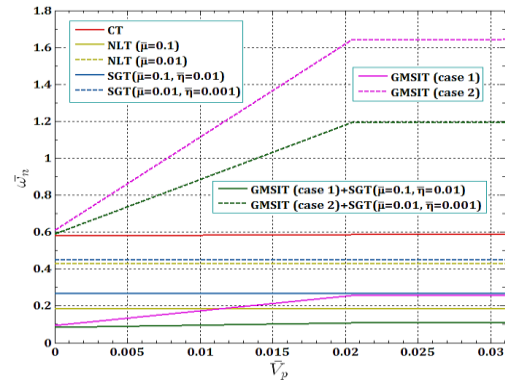
✓ بیشترین بسامد مربوط به GMSIT (حالت ۲) است و نشان می‌دهد که در این حالت سختی سیستم بیشتر از سایر موارد است. کمترین بسامد نیز مربوط به در نظر گرفتن همزمان GMSIT (حالت ۱) و SGT ( $\bar{\mu} = 0/1, \bar{\eta} = 0/01$ ) است، یعنی GMSIT+SGT است و نشان می‌دهد که در این حالت، سختی سیستم کمتر از موارد دیگر است.

✓ بسامد طبیعی نظریه کلاسیک بیشتر از نظریه‌های NLT و SGT است که نشان‌دهنده کاهش سختی سیستم به دلیل در نظر گرفتن این دو نظریه است.

✓ نظریه NLT به دلیل افزایش صلبیت بسامد بالاتری نسبت به نظریه SGT دارد.

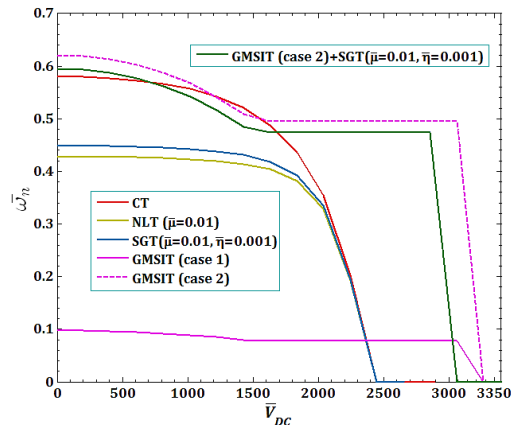
✓ در نظر گرفتن اثرات سطح /رابط و استفاده از چگالی سطح /رابط بالاتر یا کمتر می‌تواند بسامدهای کمتر یا بیشتری نسبت به بسامد های کلاسیک ایجاد کند.

✓ با توجه به تأثیر ولتاژ پیزوالکتریک بر بسامد طبیعی، حالت ای ۱ و ۲ و همچنین در نظر گرفتن همزمان



شکل ۷- مقایسه نظریه‌های غیر کلاسیک با نظریه کلاسیک در بسامد طبیعی بدون بعد در مقابل ولتاژهای مختلف پیزوالکتریک  $\bar{V}_p$

مقایسه سه نظریه غیر کلاسیک NLT، SGT و GMSIT با نظریه کلاسیک CT برای بسامد طبیعی در مقابل ولتاژ پولین مستقیم DC نانوپوسته SS در شکل ۸ ارائه شده است. همانطور که مشخص است، در نظر گرفتن اثرات انرژی سطح/رابط باعث سفتی سیستم شده و منجر به افزایش ولتاژ DC برای رسیدن به ولتاژها پولین می‌گردد. به دلیل سفتی کم در نظریه‌های NLT، SGT و CT، زودتر به ولتاژ پولین (و تقریباً برابر) خواهند رسید؛ همچنین، برای بسامد طبیعی صفر، SS PENR ناپایدار می‌شود و این از نظر فیزیکی نشان می‌دهد که ابتدا PENR به دلیل واگرایی ناشی از انشعاب چنگالی (pitchfork bifurcation)، پایداری خود را از دست می‌دهد.



شکل ۸- مقایسه نظریه های غیر کلاسیک با نظریه کلاسیک در بسامد طبیعی بدون بعد در مقابل ولتاژ پولین مستقیم DC برای PENR SS

$$\left( \begin{aligned} & \alpha_{1w} \frac{\partial \bar{u}}{\partial \xi} + \alpha_{2w} \frac{\partial \bar{u}}{\partial \xi} \frac{\partial^2 \bar{w}}{\partial \xi^2} + \alpha_{3w} \frac{\partial \bar{u}}{\partial \xi} \frac{\partial^2 \bar{w}}{\partial \theta^2} \\ & + \alpha_{4w} \frac{\partial^2 \bar{u}}{\partial \xi^2} \frac{\partial \bar{w}}{\partial \xi} + \alpha_{5w} \frac{\partial^2 \bar{u}}{\partial \xi} \frac{\partial \bar{w}}{\partial \theta} + \alpha_{6w} \frac{\partial^2 \bar{u}}{\partial \xi} \frac{\partial \bar{w}}{\partial \theta} \frac{\partial \bar{w}}{\partial \theta} \\ & + \alpha_{7w} \frac{\partial \bar{u}}{\partial \theta} \frac{\partial^2 \bar{w}}{\partial \xi} + \alpha_{8w} \frac{\partial^2 \bar{u}}{\partial \theta} \frac{\partial \bar{w}}{\partial \xi} + \alpha_{9w} \frac{\partial \bar{v}}{\partial \xi} \frac{\partial^2 \bar{w}}{\partial \theta} \\ & + \alpha_{10w} \frac{\partial^2 \bar{v}}{\partial \xi^2} \frac{\partial \bar{w}}{\partial \theta} + \alpha_{11w} \frac{\partial^2 \bar{v}}{\partial \xi} \frac{\partial \bar{w}}{\partial \theta} + \alpha_{12w} \frac{\partial \bar{v}}{\partial \theta} \\ & + \alpha_{13w} \frac{\partial \bar{v}}{\partial \theta} \frac{\partial^2 \bar{w}}{\partial \xi^2} + \alpha_{14w} \frac{\partial \bar{v}}{\partial \theta} \frac{\partial^2 \bar{w}}{\partial \theta^2} + \alpha_{15w} \frac{\partial^2 \bar{v}}{\partial \theta^2} \frac{\partial \bar{w}}{\partial \theta} \\ & + \alpha_{16w} \bar{w} + \alpha_{17w} \bar{w} \frac{\partial^2 \bar{w}}{\partial \xi^2} + \alpha_{18w} \bar{w} \frac{\partial^2 \bar{w}}{\partial \theta^2} \\ & + \alpha_{19w} \frac{\partial^2 \bar{w}}{\partial \xi^2} + \alpha_{20w} \frac{\partial \bar{w}}{\partial \xi} \frac{\partial^2 \bar{w}}{\partial \theta} \frac{\partial \bar{w}}{\partial \theta} \\ & + \alpha_{21w} \frac{\partial^2 \bar{w}}{\partial \xi^2} \left( \frac{\partial \bar{w}}{\partial \xi} \right)^2 + \alpha_{22w} \frac{\partial^2 \bar{w}}{\partial \xi^2} \left( \frac{\partial \bar{w}}{\partial \theta} \right)^2 \\ & + \alpha_{23w} \frac{\partial^4 \bar{w}}{\partial \xi^4} + \alpha_{24w} \frac{\partial^2 \bar{w}}{\partial \xi^2} \left( \frac{\partial \bar{w}}{\partial \xi} \right)^2 + \alpha_{25w} \frac{\partial^4 \bar{w}}{\partial \xi^2 \partial \theta^2} \\ & + \alpha_{26w} \left( \frac{\partial \bar{w}}{\partial \xi} \right)^2 \frac{\partial^2 \bar{w}}{\partial \theta^2} + \alpha_{27w} \frac{\partial^2 \bar{w}}{\partial \theta^2} + \alpha_{28w} \frac{\partial^4 \bar{w}}{\partial \theta^4} \\ & + \alpha_{29w} \frac{\partial^2 \bar{w}}{\partial \theta^2} \left( \frac{\partial \bar{w}}{\partial \theta} \right)^2 + \alpha_{30w} \left( \frac{\partial \bar{w}}{\partial \theta} \right)^2 \\ & + \alpha_{31w} \frac{\partial^4 \bar{w}}{\partial \xi^2 \partial \tau^2} + \alpha_{32w} \frac{\partial^4 \bar{w}}{\partial \theta^2 \partial \tau^2} + \alpha_{33w} \\ & = (1 - \bar{\mu} \bar{v}^2) \times \\ & \left( \frac{\partial^2 \bar{w}}{\partial \tau^2} + \bar{c}_w \frac{\partial \bar{w}}{\partial \tau} + \bar{K}_w \bar{w} - \bar{K}_p \bar{v}^2 \bar{w} \right) \\ & \left( \frac{\bar{F}_e (\bar{V}_{DC} + \bar{V}_{AC} \cos(\bar{\omega} \tau))^2}{\left( \sqrt{(m_1 \bar{b} - \bar{w}) \times (2m_4 \bar{R} + m_1 \bar{b} - \bar{w})} \right) \times} \right) \\ & \left[ \cosh^{-1} \left( 1 + \frac{m_1 \bar{b} - \bar{w}}{m_4 \bar{R}} \right) \right]^2 \end{aligned} \right)$$

که در آن  $\bar{v}^2 = \frac{\partial^2}{\partial \xi^2} + m_0^2 \frac{\partial^2}{\partial \theta^2}$  است و کلیه ضرایب مطرح شده  $\alpha_{kw} (k = 1 \dots 33)$  و  $\alpha_{iu} (i = 1 \dots 7)$ ,  $\alpha_{ju} (j = 1 \dots 7)$  در مرجع [۱۷] معرفی شده‌اند.

## پیوست ۲

شرایط مرزی بی بعد:

$$\bar{u} = 0: \left( \begin{aligned} & \alpha_{1u}^{bc} \frac{\partial \bar{u}}{\partial \xi} + \alpha_{2u}^{bc} \frac{\partial \bar{v}}{\partial \theta} + \alpha_{3u}^{bc} \bar{w} \\ & + \alpha_{4u}^{bc} \left( \frac{\partial \bar{w}}{\partial \xi} \right)^2 + \alpha_{5u}^{bc} \left( \frac{\partial \bar{w}}{\partial \theta} \right)^2 \\ & + \alpha_{6u}^{bc} \end{aligned} \right) \delta \bar{u}_\xi \Big|_0^1 \quad (2,1)$$

$$\left( \begin{aligned} & \alpha_{7u}^{bc} \frac{\partial \bar{u}}{\partial \theta} + \alpha_{8u}^{bc} \frac{\partial \bar{v}}{\partial \xi} \\ & + \alpha_{9u}^{bc} \frac{\partial \bar{w}}{\partial \xi} \frac{\partial \bar{w}}{\partial \theta} \end{aligned} \right) \delta \bar{u}_\theta \Big|_0^{2\pi} = 0, \quad \delta \bar{v} = 0: \quad (2,2)$$

GMSIT و SGT، به ویژه در حالت چگالی کم، بیشترین تغییرات در بسامد طبیعی مشاهده می‌شود. در این موارد با افزایش ولتاژ و در نتیجه افزایش صلبیت سیستم، بسامد افزایش یافته و سپس با شیب کمی و تقریباً ثابت ادامه می‌یابد. در سایر نظریه‌ها، تغییرات ولتاژ پیزوالکتریک تأثیر قابل ملاحظه‌ای بر بسامد طبیعی PENR ندارد.

✓ در مقایسه سه نظریه غیر کلاسیک NLT، SGT و GMSIT با نظریه کلاسیک CT، در نظر گرفتن اثرات سطح/ابط باعث سفتی سیستم شده و منجر به افزایش ولتاژ DC برای رسیدن به ولتاژهای پولین می‌شود. به دلیل سفتی کم در نظریه‌های NLT، SGT و CT، زودتر به ولتاژ پولین خواهند رسید و برای بسامد طبیعی صفر، SS PENR، به دلیل واگرایی ناشی از انشعاب چنگالی، پایداری خود را از دست می‌دهد.

## ۵- ضمایم

### پیوست ۱

معادلات بی بعد حاکم بر حرکت:

$$(1 - \bar{\eta} \bar{v}^2) \left( \begin{aligned} & \alpha_{1u} \frac{\partial^2 \bar{u}}{\partial \xi^2} + \alpha_{2u} \frac{\partial^2 \bar{u}}{\partial \theta^2} + \alpha_{3u} \frac{\partial^2 \bar{v}}{\partial \xi \partial \theta} \\ & + \alpha_{4u} \frac{\partial \bar{w}}{\partial \xi} + \alpha_{5u} \frac{\partial \bar{w}}{\partial \xi} \frac{\partial^2 \bar{w}}{\partial \xi^2} \\ & + \alpha_{6u} \frac{\partial \bar{w}}{\partial \xi} \frac{\partial^2 \bar{w}}{\partial \theta^2} + \alpha_{7u} \frac{\partial^2 \bar{w}}{\partial \xi \partial \theta} \frac{\partial \bar{w}}{\partial \theta} \end{aligned} \right) \quad (1,1)$$

$$\begin{aligned} & = (1 - \bar{\mu} \bar{v}^2) \frac{\partial^2 \bar{u}}{\partial \tau^2}, \\ & \left( \begin{aligned} & \alpha_{1v} \frac{\partial^2 \bar{u}}{\partial \xi \partial \theta} + \alpha_{2v} \frac{\partial^2 \bar{v}}{\partial \xi^2} \\ & + \alpha_{3v} \frac{\partial^2 \bar{v}}{\partial \theta^2} + \alpha_{4v} \frac{\partial \bar{w}}{\partial \xi} \frac{\partial^2 \bar{w}}{\partial \xi \partial \theta} \\ & + \alpha_{5v} \frac{\partial^2 \bar{w}}{\partial \xi^2} \frac{\partial \bar{w}}{\partial \theta} + \alpha_{6v} \frac{\partial \bar{w}}{\partial \theta} \\ & + \alpha_{7v} \frac{\partial \bar{w}}{\partial \theta} \frac{\partial^2 \bar{w}}{\partial \theta^2} \end{aligned} \right) \end{aligned} \quad (1,2)$$

$$= (1 - \bar{\mu} \bar{v}^2) \frac{\partial^2 \bar{v}}{\partial \tau^2}, \quad (1,3)$$

مراجع

[1] Duan WH, Wang Q, Quek ST (2010) Applications of piezoelectric materials in structural health monitoring and repair: Selected research examples. *Materials*. 3(12): 5169–94.

[2] Schmid S, Villanueva LG, Roukes ML (2016) *Fundamentals of Nanomechanical Resonators*. Springer. Berlin, Heidelberg, Germany.

[3] Eringen AC (2002) *Nonlocal Continuum Field Theories*. Springer. New York. USA.

[4] Lim CW, Zhang G, Reddy JN (2015) A higher-order nonlocal elasticity and strain gradient theory and its applications in wave propagation. *J. Mech. Phys. Solids*. 78: 298–313.

[5] Gurtin ME, Murdoch AI (1978) Surface stress in solids. *Int. J. Solids Struct.* 14(6): 431–40.

[6] Najafi M, Ahmadi I (2022) Free Vibration Analysis of Piezoelectric Nanobeam Based on a 2D- Formulation and Non-local Elasticity Theory. *Journal of Solid and Fluid Mechanics*. 12(4): 59–72 (In Persian).

[7] Mirzaei M, Hashemi R (1401) Analysis of free vibrations of functionally graded conical panels reinforced with graphene nanoplates with different boundary conditions. *Mechanics of Structures and Fluids*, 12(2): 49-64 (In Persian).

[8] Arefi M (2018) Analysis of a doubly curved piezoelectric nano shell: Nonlocal electro-elastic bending solution. *Eur. J. Mech. A. Solids*. 70: 226–237.

[9] Dindarloo MH, Zenkour AM (2020) Nonlocal strain gradient shell theory for bending analysis of FG spherical nanoshells in thermal environment. *Eur. Phys. J. Plus*. 135, 785.

[10] Ebrahimi F, Barati MR (2017) Hygrothermal effects on vibration characteristics of viscoelastic FG nanobeams based on nonlocal strain gradient theory. *Compos. Struct.* 159: 433–444.

[11] Karamad H, Andakhshideh A, Maleki S. (2020) Study of Primary and Secondary Nonlinear Resonances of Nanobeam Based on Nonlocal Strain Gradient Theory. *Physica B*. 10(2): 163–175.

[12] Fang XQ, Zhu CS, Liu JX, Liu XL (2018) Surface energy effect on free vibration of nano-sized piezoelectric double-shell structures. *Physica B*. 529: 41–56.

[13] Fang XQ, Zhu CS, Liu JX, Zhao J (2018) Surface energy effect on nonlinear buckling and postbuckling behavior of functionally graded piezoelectric cylindrical nanoshells under lateral pressure. *Mater. Res. Express*. 5.4: 045017.

[14] Jiang Y, Li L, Hu Y (2022) A nonlocal surface theory for surface–bulk interactions and its application to mechanics of nanobeams. *Int. J. Eng. Sci.* 172. 103624

[15] Hashemi Kachapi SH, Dardel M, Mohamadi danieli H, Fathi A (2019) Pull-in instability and

$$\left( \alpha_{1v}^{bc} \frac{\partial \bar{u}}{\partial \theta} + \alpha_{2v}^{bc} \frac{\partial \bar{v}}{\partial \xi} \right) \delta \bar{v}_\xi \Big|_0^1 + \left( \alpha_{4v}^{bc} \frac{\partial \bar{u}}{\partial \xi} + \alpha_{5v}^{bc} \frac{\partial \bar{v}}{\partial \theta} + \alpha_{6v}^{bc} \bar{w} \right) \delta \bar{v}_\theta \Big|_0^{2\pi} + \left( \alpha_{7v}^{bc} \left( \frac{\partial \bar{w}}{\partial \xi} \right)^2 + \alpha_{8v}^{bc} \left( \frac{\partial \bar{w}}{\partial \theta} \right)^2 + \alpha_{9v}^{bc} \right) \delta \bar{w} = 0$$

$$\left( \alpha_{1w}^{bc} \frac{\partial \bar{u}}{\partial \xi} \frac{\partial \bar{w}}{\partial \xi} + \alpha_{2w}^{bc} \frac{\partial \bar{u}}{\partial \theta} \frac{\partial \bar{w}}{\partial \theta} + \alpha_{3w}^{bc} \frac{\partial \bar{v}}{\partial \xi} \frac{\partial \bar{w}}{\partial \theta} + \alpha_{4w}^{bc} \frac{\partial \bar{v}}{\partial \theta} \frac{\partial \bar{w}}{\partial \xi} + \alpha_{5w}^{bc} \bar{w} \frac{\partial \bar{w}}{\partial \xi} + \alpha_{6w}^{bc} \frac{\partial \bar{w}}{\partial \xi} + \alpha_{7w}^{bc} \frac{\partial^3 \bar{w}}{\partial \xi^3} + \alpha_{8w}^{bc} \frac{\partial^3 \bar{w}}{\partial \xi \partial \theta^2} + \alpha_{9w}^{bc} \frac{\partial \bar{w}}{\partial \xi} \left( \frac{\partial \bar{w}}{\partial \xi} \right)^2 + \alpha_{10w}^{bc} \frac{\partial \bar{w}}{\partial \xi} \left( \frac{\partial \bar{w}}{\partial \theta} \right)^2 + \alpha_{11w}^{bc} \frac{\partial^3 \bar{w}}{\partial \xi \partial \tau^2} \right) \delta \bar{w}_\xi \Big|_0^1$$

$$\frac{\partial \bar{w}}{\partial \xi} = 0$$

(۲,۳)

$$\left( \alpha_{23w}^{bc} \frac{\partial^2 \bar{w}}{\partial \xi^2} + \alpha_{24w}^{bc} \frac{\partial^2 \bar{w}}{\partial \theta^2} + \alpha_{25w}^{bc} + \alpha_{26w}^{bc} \frac{\partial^2 \bar{w}}{\partial \xi^2} + \alpha_{27w}^{bc} \frac{\partial^2 \bar{w}}{\partial \theta^2} + \alpha_{28w}^{bc} \frac{\partial^2 \bar{w}}{\partial \tau^2} \right) \delta \left( \frac{\partial \bar{w}_\xi}{\partial \xi} \right) \Big|_0^1 + \left( \alpha_{29w}^{bc} \frac{\partial^2 \bar{w}}{\partial \xi \partial \theta} \right) \delta \left( \frac{\partial \bar{w}_\theta}{\partial \xi} \right) \Big|_0^{2\pi} = 0$$

(۲,۴)

$$\frac{\partial \bar{w}}{\partial \theta} = 0: \left( \alpha_{30w}^{bc} \frac{\partial^2 \bar{w}}{\partial \xi \partial \theta} \right) \delta \left( \frac{\partial \bar{w}_\xi}{\partial \theta} \right) \Big|_0^1 + \left( \alpha_{31w}^{bc} \frac{\partial^2 \bar{w}}{\partial \xi^2} + \alpha_{32w}^{bc} \frac{\partial^2 \bar{w}}{\partial \theta^2} + \alpha_{33w}^{bc} + \alpha_{34w}^{bc} \frac{\partial^2 \bar{w}}{\partial \xi^2} + \alpha_{35w}^{bc} \frac{\partial^2 \bar{w}}{\partial \theta^2} + \alpha_{36w}^{bc} \frac{\partial^2 \bar{w}}{\partial \tau^2} \right) \delta \left( \frac{\partial \bar{w}_\theta}{\partial \theta} \right) \Big|_0^{2\pi} = 0$$

(۲,۵)

که ضرایب  $\alpha_{nw}^{bc}$  ( $n = ۱, ۲, ۳, ۴, ۵, ۶, ۷, ۸, ۹, ۱۰, ۱۱$ ) و  $\alpha_{mv}^{bc}$  ( $m = ۱, ۲, ۳, ۴, ۵, ۶, ۷, ۸, ۹$ ) و  $\alpha_{lv}^{bc}$  ( $l = ۱, ۲, ۳, ۴, ۵, ۶, ۷, ۸, ۹$ ) در مرجع [۱۷] معرفی شده‌اند.

پیوست ۳

$$(K_{vp})_w^w = \iint \left( \bar{k}_w \left( \beta_r \beta_o \psi_s \psi_p - \bar{\mu} \left( \beta_r \beta_o'' \psi_s \psi_p + m_0^2 \beta_r \beta_o \psi_s \psi_p'' \right) \right) - \bar{k}_p \left( \beta_r \beta_o'' \psi_s \psi_p + m_0^2 \beta_r \beta_o \psi_s \psi_p'' \right) + \bar{k}_p \bar{\mu} \left( \beta_r \beta_o'''' \psi_s \psi_p + 2m_0^2 \beta_r \beta_o'' \psi_s \psi_p'' + m_0^4 \beta_r \beta_o \psi_s \psi_p'''' \right) \right) d\xi$$

- [22] Ghorbanpour Arani A, Kolahchi R, Hashemian M (2014) Nonlocal surface piezoelectricity theory for dynamic stability of double-walled boron nitride nanotube conveying viscose fluid based on different theories. *P I Mech Eng C-J Mec.* 228: 3258–80.
- [23] Ghorbani K, Mohammad K, Rajabpour i, Ghadiri M (2019) Surface and size-dependent effects on the free vibration analysis of cylindrical shell based on Gurtin-Murdoch and nonlocal strain gradient theories. *J. Phys. Chem. Solids.* 129: 140–150.
- [24] Kiani K (2017) Postbuckling scrutiny of highly deformable nanobeams: A novel exact nonlocal-surface energy-based model. *J. Phys. Chem. Solids.* 110: 327–343.
- [25] Sun J, Wang Z, Zhou Z, Xu Xg, Lim CW (2018) Surface effects on the buckling behaviors of piezoelectric cylindrical nanoshells using nonlocal continuum model. *Appl. Math. Modell.* 59: 341–356.
- [26] Farokhi H, Païdoussis MP, Misra A (2016) A new nonlinear model for analyzing the behaviour of carbon nanotube-based resonators. *J. Sound Vib.* 378: 56–75.
- [27] Amabili M (2008) *Nonlinear Vibrations and Stability of Shells and Plates.* Cambridge University Press. New York.
- nonlinear vibration analysis of electrostatically piezoelectric nanoresonator with surface/interface effects. *Thin Walled Struct.* 143: 106210.
- [16] Hashemi Kachapi SH, Dardel M, Mohamadi daniali H, Fathi A (2019) Nonlinear dynamics and stability analysis of piezo-visco medium nanoshell resonator with electrostatic and harmonic actuation. *Appl. Math. Modell.* 75: 279–309.
- [17] Hashemi Kachapi Sayyid H (2020) Nonlinear vibration and stability analysis of piezo-harmo-electrostatic nanoresonator based on surface/interface and nonlocal strain gradient effects. *J. Braz. Soc. Mech. Sci.* 42(107).
- [18] Hashemi Kachapi Sayyid H (2022) Surface/interface approach in pull-in instability and nonlinear vibration analysis of fluid-conveying piezoelectric nanosensor. *Mech. Based Des. Struct. Mach.* 50(3): 741-766.
- [19] Hashemi Kachapi Sayyid H (2023) Nonlinear vibration response of piezoelectric nanosensor: influences of surface/interface effects, *Facta Univ. Ser. Mech. Eng.* 2(2): 259-272.
- [20] Sheikhlo M., Delbari SA, Sabahi Nemini A, Abdul Maleki A (1401) Vibration analysis of circular nanoplates under nonlinear electrostatic excitation with respect to surface and size effects. *Mechanics of structures and fluids*, 12(5): 133-146 (In Persian).
- [21] Yiyuan J, Li L, Yujin H (2022) A nonlocal surface theory for surface-bulk interactions and its application to mechanics of nanobeams, *Int. J. Eng. Sci.* 172:103624.